

# بررسی امنیت در واترمارکینگ تصاویر دیجیتالی با روش SVM-SS ، با استفاده از الگوریتم ژنتیک

رهام افضل

[Roham87.afzal@gmail.com](mailto:Roham87.afzal@gmail.com), مهندسی کامپیوتر هوش مصنوعی دانشگاه شهید باهنر

دانشگاه شهید باهنر کرمان

مسئول مکاتبات: رهام افضل

## چکیده

از آنجا که ذخیره و ارسال اطلاعات پزشکی به صورت دیجیتال و با فرمت استاندارد می‌باشد امکان دستکاری مغرضانه این اطلاعات وجود دارد. لذا اطلاعات پزشکی تا حد امکان باید از امنیت بالایی برخوردار باشد. یکی از تکنیک‌های جدیدی که از آن می‌توان به عنوان سدی در برابر این خطرات استفاده کرد، نهان‌نگاری یا همان واترمارکینگ است که در آن اطلاعات بیمار به گونه‌ای در تصاویر قرار داده می‌شود که با دید انسان غیر قابل تشخیص باشد، بدون آنکه فرمت و اندازه‌ی تصاویر تغییر کند. در اینجا برای نهان‌نگاری اطلاعات از مدل SVM-SS (ماشین بردار پشتیبان و طیف‌گسترده) استفاده شده است. SVM تصویر را به دو ناحیه سودمند و غیرسودمند تقسیم می‌کند و SS برای تعبیه اطلاعات که به صورت باینری در آمده اند، استفاده می‌شود. نهان‌نگاری در حوزه فرکانس و با استفاده از تبدیل گسسته کسینوس صورت می‌گیرد. اطلاعات در فرکانس‌های بالای تصویر که در ناحیه غیرسودمند واقع شده است تعبیه می‌شود. در این تحقیق از تکنیکی جدید برای امنیت بیشتر تصاویر استفاده شده است. به این ترتیب که اطلاعات باینری قبل از تعبیه با اعمال الگوریتم ژنتیک رمزنگاری می‌شود. فرآیند استخراج عکس عمل تعبیه می‌باشد که در آن تصویر اصلی برای بازیابی اطلاعات مورد استفاده قرار می‌گیرد.

**کلمات کلیدی:** نهان‌نگاری، ماشین بردار پشتیبان، طیف گسترش، تبدیل کسینوس گسسته

## مقدمه

نهان‌نگاری هنر و علم جاسازی اطلاعات در یک رسانه حامل است که با توجه به پیشرفت قابل توجه ارتباطات دیجیتال، استفاده از آن رو به افزایش است. اگرچه رمزنگاری نیز مفهومی مشابه با نهان‌نگاری دارد، اما تفاوت‌هایی بین آن‌ها وجود دارد. در رمزنگاری، هدف صرفاً نامفهوم ماندن و عدم توانایی دیگران در دستیابی به محتوای پیام است. اما در نهان‌نگاری باید اصل ارتباط از دید دیگران مخفی بماند. با این توصیف در رمزشکنی حمل‌هایی موفق است که به محتوای پیام پی‌برد و در نهان‌شکنی حمل‌هایی موفق است که به وجود ارتباط پی‌برد.

بنابراین، نهان‌نگاری به نوعی امنیت بیشتری نسبت به رمزنگاری دارد. از تمام رسانه‌های دیجیتال، می‌توان جهت نهان‌نگاری استفاده کرد. امروزه یکی از مهم‌ترین رسانه‌های مورد استفاده در اینترنت تصاویر است. به دلیل این که درک انسان از تصاویر محدود است، امکان تغییرات در تصاویر وجود دارد. این رسانه به عنوان نوعی پوشش مناسب در نهان‌نگاری معرفی می‌شود.

در رمزنگاری برای جلوگیری از دسترسی به محتوای پیام از مخدوش نمودن آن استفاده می‌شود؛ به طوری که این پیام مخدوش و غیر قابل درک شده توسط شخص مجاز و با استفاده از یک کلید سری قابل بازسازی است و اطلاعات به راحتی استخراج می‌شود لیکن همین امر برای شخص غیرمجاز که به اطلاعات رمزشده و الگوریتم رمزنگاری دسترسی دارد بدون داشتن کلید ناممکن است (اندرس ۲۰۰۰).

برای انجام هر روش پنهان‌سازی دو کار زیر باید صورت پذیرد (متیو ۲۰۰۱):

(الف) در آنچه به عنوان میزبان به کار می‌رود باید تحقیق شود که چه تغییراتی را می‌توان روی آن اعمال نمود بدون این که تفاوت قابل درکی بین نمونه‌ی اصلی و نمونه‌ای که در آن تغییرات ایجاد شده به وجود آید. این تحقیق برای انجام عملیات فشرده‌سازی نیز جهت حذف اجزای زائدی که وجود یا عدم وجود آن‌ها در کیفیت تاثیر چندانی ندارد انجام می‌شود.

(ب) از مشخصه تحقیق شده در قسمت (الف) برای پنهان‌کردن اطلاعات استفاده شود.

اگر خواسته باشیم پنهان‌سازی اطلاعات را به صورت فرمولی عنوان کنیم، می‌توان گفت: برای قطعه‌ی اصلی از داده (d) که به عنوان میزبان مطرح است حد آستانه‌ای وجود دارد (t) که چنانچه زیر این حد آستانه، تغییراتی در d به وجود آوریم قابل تشخیص برای حسگرهای انسانی نیست؛ این حد

آستانه از راه آزمایش بدست می‌آید و در افراد مختلف متفاوت است لیکن کم‌ترین مقدار آن از لحاظ حس انسانی برای  $t$  در نظر گرفته می‌شود. بنابراین ما همواره می‌توانیم تغییر  $C$  در  $d$  را زیر حد آستانه  $t$  به وجود آوریم طوری که قابل تشخیص به وسیله احساس نباشد ( $d + c < t$ ).

روش‌های نهان‌نگاری در تصاویر به دو دسته کلی تقسیم می‌شود: روش‌های مبتنی بر حوزه مکانی و روش‌های مبتنی بر حوزه تبدیل. تکنیک پنهان‌سازی اطلاعات در بیت کم‌ارزش (لیزا ۱۹۹۹) یکی از روش‌های مبتنی بر حوزه مکانی است که سیگنال مخفی را در بیت‌های کم‌ارزش تصویر اصلی پنهان می‌کند که روش بسیار ساده‌ای می‌باشد. تغییرات در کم‌ارزش‌ترین بیت در تصویر تأثیری مشابه با اثر نویز در تصویر را دارد و تغییر زیادی را در تصویر ایجاد نمی‌کند. مهم‌ترین اشکال موجود این است که اطلاعات در اثر تکنیک‌های فشرده‌سازی از بین می‌رود. همچنین این نوع مخفی‌سازی به نویز حساس است و با وجود نویز کم اطلاعات از بین می‌رود و به این دلیل ضریب اطمینان کمی دارد.

روش‌های حوزه تبدیل مانند تبدیل فوریه (جوراوی ۲۰۰۰)، تبدیل موجک (لین ۲۰۰۱)، یا تبدیل کسینوسی گسسته (کاکس میلر ۱۹۹۹) از ضرایب حوزه فرکانس برای مخفی‌سازی اطلاعات استفاده می‌شود. در این نوع پنهان‌سازی، انتخاب بهترین فرکانس برای مخفی‌سازی مساله مهمی است. در این روش بعد از اعمال عمل تبدیل، اطلاعات مخفی شده در حوزه مکان در کل تصویر پراکنده می‌شود. در مقایسه با روش‌های حوزه مکان، روش‌های حوزه تبدیل ضریب اطمینان بالاتری در برابر تکنیک‌های فشرده‌سازی دارند. روش‌های نهان‌نگاری بر مبنای نیاز یا عدم‌نیاز به تصویر در گیرنده برای استخراج داده به دو گروه تقسیم می‌شوند. به روش‌هایی که به تصویر اصلی نیاز دارد، روش‌های غیرکور (Non blind) و به روش‌هایی که به تصویر اصلی نیاز ندارند و فرآیند استخراج آن‌ها مستقل از داده‌ی اصلی صورت می‌گیرد، روش‌های نهان‌نگاری کور (Blind)، گویند.

به عنوان مثال، برای پنهان‌سازی در قالب تصویر ابتدا تصویر به بلوک‌های  $8 \times 8$  پیکسل تقسیم شده سپس روی این بلوک‌ها تک‌تک DCT گرفته می‌شود. بیت‌های پیام با دستکاری ضرایب به دست آمده از این تبدیلات روی این ضرایب پیاده شده و در پایان معکوس DCT گرفته می‌شود یا در تکنیک طیف گسترده<sup>۱</sup> با شبیه‌سازی پیام به صورت نویز آن را روی طیف فرکانسی میزبان می‌گسترانند (گسترش باند باریک روی باند وسیع) (لیزا ۱۹۹۹).

واترمارکینگ تکنیکی است که مقدار مشخصی از اطلاعات محرمانه یا اطلاعات وابسته به محتوا را در میزبان یا فایل پوشش داده به صورت شفاف با اطمینان از صحت آن‌ها و حفاظت از اطلاعات ذخیره شده حتی در هنگام انتقال جاسازی (تعبیه) می‌کند. واترمارکینگ در اشکال مختلف مانند ویدئو، صوت، متن و مدل 3D و کد نرم افزار به کار برده می‌شود و با موفقیت در برنامه‌های مختلف مانند احراز هویت، حفاظت از کپی رایت و تجارت و همچنین رادیو و تلویزیون مورد استفاده قرار می‌گیرد (زاین ۲۰۰۵).

در میان روش‌های محبوب در واترمارکینگ، واترمارکینگ تصویر دیجیتالی است که روشی برای تعبیه و انتقال مقدار مشخصی از داده درون تصویر میزبان است. مزیت اصلی واترمارکینگ تصویر دیجیتال این است که داده‌ها به صورت مستقیم در تصویر تعبیه می‌شوند (زاین ۲۰۰۶). بنابراین، اطلاعات می‌تواند در تغییرات مختلف باقی بماند. در مدل واترمارکینگ تصویر دیجیتالی، دو مرحله مورد بحث وجود دارد که تعبیه و استخراج می‌باشد. داده‌های تعبیه می‌تواند در قالب متن، تصویر و... باشد (پلاتنیز ۲۰۰۵).

یکی از انواع مهم تصاویر دیجیتالی، تصویر پزشکی است. تصاویر پزشکی برای ذخیره و ثبت اطلاعات بیماران که بسیار محرمانه است مورد استفاده قرار می‌گیرد. این تصاویر باید از هرگونه تغییر و دستکاری در امان باشند (رائول ۲۰۰۷).

در طراحی یک واترمارکینگ خوب ۳ شرط اصلی باید در نظر گرفته شود: استحکام، نامحسوس بودن و ظرفیت. استحکام، قابلیت واترمارکینگ تصویر برای مقاومت در برابر حملات پردازش مخرب تصویر است. نامحسوس بودن، برای حفظ کیفیت تصویر نوع واترمارکینگ دیجیتالی است. درحالی‌که ظرفیت، تعداد بیت به منظور واترمارکینگ مورد استفاده است (۳۰).

در میان تکنیک‌های محاسبات نرم، شبکه‌های عصبی (NN)، الگوریتم ژنتیک (GA)، منطق فازی (FL) و ماشین بردار پشتیبان (SVM)، SVM در طبقه‌بندی از جمله طبقه‌بندی تصویر برتری دارد و در واترمارکینگ به منظور بهبود عملکرد آن مورد استفاده قرار می‌گیرد (تاسی ۲۰۰۶).

ماشین بردار پشتیبان (SVM) یک طبقه‌بندی کننده دودویی است که دو کلاس را با استفاده از یک مرز خطی از هم جدا می‌کند. نخستین بار SVM توسط وپنیک در اوایل دهه ۱۹۹۰ میلادی مطرح شد (شاوو ۲۰۰۸). SVM در بسیاری از مسائل مربوط به طبقه‌بندی داده‌ها و شناسایی الگو، همچون دسته بندی متون، تشخیص چهره در تصاویر، تشخیص ارقام دستنویس بیوانفورماتیک کارکرد بسیار موفق داشته است. از ویژگی‌های مهم SVM طبقه‌بندی داده‌ها بر اساس مینیمم‌سازی خطای تجربی یا همان خطای آموزش است. SVM در بخش آموزش به حل یک مساله بهینه‌سازی محدب می‌پردازد و قادر به یافتن جواب مطلق مساله است و برخلاف روش‌هایی چون شبکه‌های عصبی، مشکل مینیمم محلی را نخواهد داشت (هانگ ۲۰۰۹). به طور کلی، هدف SVM یافتن مرز تصمیمی است که علاوه بر طبقه‌بندی داده‌های دو کلاس با حداقل خطا، بیش‌ترین حاشیه را نیز دارا باشد (هانگ ۲۰۰۹).

<sup>1</sup> Fourier transform

<sup>2</sup> wavelet transform

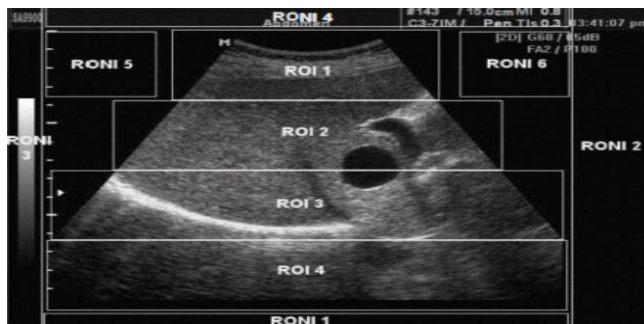
<sup>3</sup> discrete cosine transform

<sup>4</sup> Spread-Spectrum

SS یکی از اولین روش‌ها است. اما هنوز قابل توجه بوده و به طور مداوم به کار برده می‌شود (عبدالله ۲۰۰۹). معمولاً SS با فرمت تصویر JPEG به صورت مکرر با همدیگر در حوزه تبدیل مورد استفاده قرار می‌گیرند (عبدالله ۲۰۰۹). شبیه‌سازی SS نسبت به رایج‌ترین پردازش سیگنال و تحریفات هندسی به منظور حفظ تصاویر میزبان قدرتمند است (تودورو ۲۰۰۴).

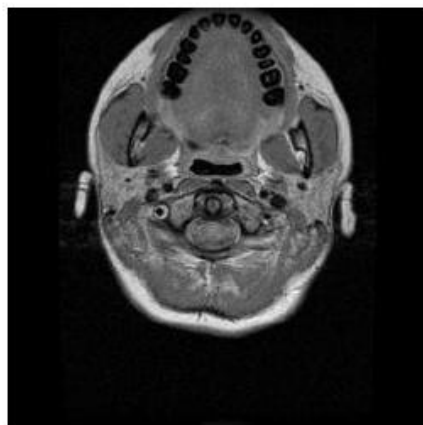
### روند تعبیه

به منظور اعمال اطلاعات بیمار در تصاویر انتخابی ابتدا اطلاعات مورد نیاز را از سربرگ تصاویر (مثل سن، سابقه بیماری، جنسیت و...) انتخاب و سپس متنی (\*.txt) شامل این اطلاعات ایجاد می‌شود. پس از آن کد اسکی هر کاراکتر موجود در متن در پایه دودویی بدست می‌آید و با قرار دادن آن‌ها در کنار هم دنباله‌ای از صفر و یک (W) ایجاد می‌گردد. سپس این دنباله داده باینری شده با الگوریتم ژنتیک رمزنگاری می‌شود. به این ترتیب که دنباله باینری اطلاعات بیمار را به دو قسمت والد ۱ و والد ۲ فرض کرده و عملگرهای ترکیب و جهش بر روی آن انجام می‌شود. برای اعمال عمل ترکیب، از ترکیب چند نقطه‌ای استفاده می‌شود. یک کلید ( $k_2$ ) هم در این مرحله به عنوان کلید رمز درج می‌شود. سپس برای درج این دنباله داده‌ی رمزنگاری شده به تصویر، از روش طیف‌گسترده (SS) استفاده می‌شود. SS در این مدل برای تعبیه واترمارک با تنظیم یک باند باریک بر روی یک حامل مورد استفاده قرار می‌گیرد. در نتیجه چگالی آن که اغلب زیر سطح نویز است کاهش می‌یابد. بنابراین، تصویر با پهنای باند بالا به نظر می‌رسد که اجازه می‌دهد واترمارک به خوبی در تصویر تعبیه شود، بدون این که قابل تشخیص باشد. این روش از یک تبدیل حوزه‌ی فرکانس برای تبدیل پیکسل‌های ورودی در حوزه‌ی DCT استفاده می‌کند. پس از بردن تصویر به حوزه‌ی تبدیل گسسته کسینوسی (DCT) در سطح تجزیه دوم، ضرایب موجود در زیرباند انتخابی، در بلوک‌های ۸×۸ بلوک-بندی می‌شود. به دلیل این که چشم انسان به فرکانس‌های پایین تصویر حساسیت بیشتری دارد، اطلاعات بیمار در فرکانس بالای تصویر تعبیه می‌شود. قبل از فرآیند تعبیه تصویر، با روش ماشین بردار پشتیبان به دو ناحیه سودمند (ROI) و غیرسودمند (RONI) طبقه‌بندی می‌شود. چون نواحی غیرسودمند در هنگام تشخیص بیماری اثری ندارند و اغلب در تصاویر پزشکی سیاه می‌باشند، دنباله داده رمزنگاری شده به عنوان واترمارک در فرکانس بالای تصویر که در ناحیه‌ی غیرسودمند قرار دارد تعبیه می‌شود. در شکل زیر می‌توان نوعی از این ناحیه‌بندی را در تصویر سونوگرافی مشاهده کرد.

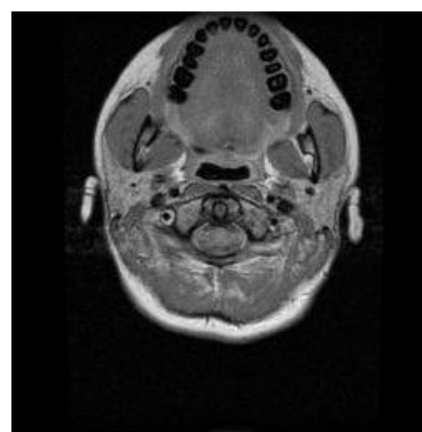


شکل ۱- مثالی از تقسیم بندی تصویر پزشکی به دو ناحیه ROI و RONI

سپس معکوس تبدیل کسینوسی گسسته اعمال شده و تصویر واترمارک شده که مشابه تصویر اصلی می‌باشد به دست می‌آید. این تصاویر با معیارهای سنجش الگوریتم‌های نهان‌نگاری مورد ارزیابی قرار می‌گیرد.



شکل ۲- (ب) تصویر واترمارک شده



شکل ۲- (الف) تصویر اصلی

## روند استخراج داده

فرآیند استخراج معکوس فرآیند تعبیه واترمارک می باشد. برای بازخوانی اطلاعات بیمار از تصویر نهان نگاری شده، تصویر اصلی هم استفاده می شود. تصویر اصلی و تصویر نهان نگاری شده هر دو به بلوک های  $8 \times 8$  پیکسل تقسیم شده و سپس به حوزه ی DCT برده می شود. مطابق فرآیند وارد کردن اطلاعات بیمار به تصویر همان سطح تجزیه و زیر باندها انتخاب می شود. کلید مخفی  $k_1$  هم اولین بار برای تعیین هویت کاربر وارد خواهد شد. مشابه آن چه که در وارد کردن داده انجام شد، بلوک ها تشکیل و هر آرایه پیکسل تصویر با هر دو تصاویر مقایسه می شود. اگر تفاوتی میان پیکسل های تصویر اصلی و تصویر واترمارک شده وجود داشت، پیکسل تصویر داده واترمارک شده برای به دست آوردن بیت استخراج محاسبه خواهد شد. بعد از استخراج بیت های تعبیه شده، کلید  $k_2$  برای رمزگشایی مورد استفاده قرار می گیرد. حال تمام بیت ها ترکیب شده و کد اسکی مربوط به هر کاراکتر به دست می آید که با تبدیل آن به کاراکتر، اطلاعات بیمار که در تصویر واترمارک شده بود، حاصل می گردد.

## معیارهای سنجش

برای اطمینان از یکپارچگی و محرمانه ماندن اطلاعات بیمار، یک نمونه اولیه از تصویر پزشکی سیاه و سفید JPEG در اندازه  $256 \times 256$  توسعه داده شده و آزمایش شده است. در مرحله طبقه بندی، تعداد کل 20 مجموعه داده استفاده شده است. هر مجموعه داده یک تصویر سیاه و سفید با اندازه  $256 \times 256$  است. بنابراین، تعداد کل نقاط داده برای تصویر  $65536$  می باشد. از این تعداد کل نقاط داده، 2000 یا 3٪ برای آموزش استفاده می شود. در حالی که  $65356$  بقیه یا 97٪ برای آزمایش مورد استفاده قرار می گیرد. درخشندگی و ارزش لبه تصاویر استخراج شده و جمعیتی از ویژگی ها برای فرآیند طبقه بندی به وجود می آید. بهترین آستانه با آزمایش مقادیر مشخص انتخاب می شود و نتیجه بر اساس سیستم بینایی انسان تعیین می شود. تاثیر SVM به انتخاب هسته، پارامترهای هسته و پارامتر حاشیه نرم C بستگی دارد. در این تحقیق از هسته RBF استفاده شده است. دقت طبقه بندی SVM بر اساس دو پارامتر ورودی که پارامترهای هزینه (C) و گاما ( $\gamma$ ) هستند، سنجیده می شود. بهترین ترکیب C و گاما اغلب توسط یک شبکه جستجو با دنباله رشد تصاعدی از SVM و گاما انتخاب می شود. بر اساس انجام شبکه جستجو مقدار پارامترها مشخص شده است، که برای C و 1.0 برای گاما به دست آمده است. در نتیجه، پیکسل های تصویر با موفقیت به ROI و RONI طبقه بندی شده اند نتایج آزمایش نشان می دهد که میانگین دقت برای طبقه بندی  $M(3-16)$ ٪ می باشد. این مقدار حاکی از طبقه بندی خوب SVM به نواحی ROI و RONI است. در مرحله تعبیه SS، همه ی مکان های بالاترین ضریب برای هر بلوک DCT انتخاب می شوند، برچسب شناسایی برای این مکان بر اساس نتیجه مرحله طبقه بندی شناسایی خواهد شد. تنها مکان های بالاترین ضریب و برچسب گذاری شده با 1- یعنی RONI به عنوان محل تعبیه استفاده خواهد شد. بعد معکوس DCT انجام خواهد شد. پیکسل جمع آوری شده به شکل تصویر واترمارک شده استفاده خواهد شد. به منظور بررسی یکپارچگی و محرمانه ماندن اطلاعات بیمار بر اساس روش ارائه شده، استحکام و نامحسوس بودن تصاویر واترمارک شده، اندازه گیری شده است استحکام با محاسبه نسبت شباهت (SR) میان تصویر اصلی و واترمارک شده، آزمایش می شود. که این محاسبه طبق یک مقایسه میان واترمارک اصلی و استخراج شده انجام می شود. معده آن به شرح زیر است:

$$SR = \frac{S}{S+D} \quad (1)$$

در این معادله S نشان دهنده ی تعداد مقادیر پیکسل های تطبیقی و D نشان دهنده ی مقدار پیکسل های متفاوت می باشد. محدوده مقادیر SR از 0 تا 1 می باشد، و مقادیر SR نزدیک به 1 نشان دهنده ی تعداد پیکسل های تطبیقی بالا می باشد. یعنی واترمارک مستحکم تر است و از این رو اصالت آن حفظ می شود.

جدول 1 نتایج SR را که با استفاده از چند اندازه مختلف از واترمارک (ظرفیت) اندازه گیری شده را نشان می دهد. طبق این جدول می بینیم که وقتی اندازه اطلاعات واترمارک افزایش می یابد، متناظر با آن ارزش SR کاهش می یابد. این منطقی است، در نتیجه دلالت بر این دارد که وقتی اندازه اطلاعات واترمارک بزرگ تر می شود، استحکام تصویر کاهش می یابد.

جدول 1- نسبت شباهت برای مقادیر آزمایش شده

اندازه نهان نگار	نسبت شباهت
40 byte	0.9951
60 byte	0.9939
80 byte	0.9927
100 byte	0.9878
120 byte	0.9853
Average	0.9910

با استفاده از طبقه‌بندی SVM، تنها ناحیه RONI که در بالاترین ضریب بلوک DCT قرار دارد می‌تواند برای تعبیه واترمارک مورد استفاده قرار بگیرد. اگرچه محدوده آن در اندازه بیت‌های واترمارک تعبیه شده است، نتیجه نهایی آن یک تصویر واترمارک شده قوی‌تر می‌باشد. در غیر این صورت، اگر طبقه‌بندی SVM استفاده نشود، بیت‌های واترمارک می‌تواند در همه‌ی بالاتر بلوک DCT تعبیه شود. این امر نه تنها اجازه خواهد داد بیت‌های واترمارک بیش از حد بسیاری در تصویر تعبیه شوند، در نتیجه باعث کم شدن استحکام تصویر واترمارک شده خواهد شد که آن بیشتر قابل توجه است. که به این ترتیب، یکپارچگی تصویر پزشکی را به خطر خواهد انداخت.

جدول ۲- مقایسه استحکام نتایج نسبت شباهت

WORKS	SR
method (79)	1.0
method (80)	0.9181
method (82)	0.8496
method (34)	0.991
Proposed Model	0.991

جدول ۲ نتایج مقایسه استحکام چند اثر قبلی که اخیراً مورد استفاده قرار گرفته است را با مدل ارائه شده نشان می‌دهد. همه این مقادیر SR بیش از ۰.۸ هستند. درحالی‌که مقدار مدل ارائه شده ۰.۹۹۱ است، که بسیار نزدیک به ۱.۰ می‌باشد. این حاکی از استحکام واترمارک دستکاری نشده است و از این رو صحت اثر حفظ می‌شود.

جدول ۳- نتایج PSNR، انحراف معیار متوسط و استاندارد برای آزمایش نامحسوس بودن

Original Images Name	Original Images		Watermarked Images		MSE	PSNR (dB)
	Mean	Standard Deviation	Mean	Standard Deviation		
brain_001.jpg	42.184	55.071	41.445	54.865	0.952	48.554
brain_002.jpg	46.507	59.455	45.766	59.238	0.949	48.486
brain_003.jpg	46.450	60.995	45.708	60.783	0.934	48.720
brain_004.jpg	42.997	57.841	42.264	57.628	0.947	48.433
brain_005.jpg	43.750	59.346	43.026	59.132	0.950	48.577
brain_006.jpg	40.071	55.216	39.347	55.005	0.961	48.474
brain_007.jpg	44.562	58.942	43.832	58.720	0.968	48.416
brain_008.jpg	42.624	52.883	41.896	52.653	0.954	48.473
brain_009.jpg	50.271	60.184	49.541	59.947	0.955	48.530
brain_010.jpg	54.938	63.621	54.205	63.375	0.956	48.449
brain_011.jpg	56.557	64.658	55.832	64.406	0.944	48.633
brain_012.jpg	54.420	62.259	53.695	62.013	0.953	48.548
brain_013.jpg	56.041	64.935	55.316	64.688	0.955	48.527
brain_014.jpg	54.702	64.232	53.975	63.992	0.963	48.460
brain_015.jpg	50.259	60.643	49.523	60.412	0.943	48.434
brain_016.jpg	49.093	61.055	48.355	60.834	0.938	48.308
brain_017.jpg	43.286	56.190	42.547	55.975	0.939	48.678
brain_018.jpg	46.005	63.269	45.262	63.076	0.923	48.831
brain_019.jpg	39.181	57.918	38.437	57.737	0.927	48.792
brain_020.jpg	35.708	57.874	34.961	57.713	0.923	48.828
			<b>Average:</b>		<b>0.947</b>	<b>48.558</b>

معیار دوم نامحسوس بودن تصویر واترمارک شده است، که با استفاده از نسبت پیک سیگنال به نویز اندازه‌گیری می‌شود. مقادیر بزرگتر PSNR نشان دهنده‌ی شباهت بیشتر بین تصویر اصلی و نهان‌نگاری شده می‌باشد. به منظور سنجش میزان شباهت بین تصویر اصلی و نهان‌نگاری شده با ابعاد (N,N) از معیار PSNR مطابق رابطه‌ی (۲) استفاده می‌شود.

$$PSNR = 10 \log_{10} \left( \frac{255^2}{MSE} \right) (db) \quad (2)$$

MSE متوسط مربع خطا بین تصویر اصلی و واترمارک شده است.

سایز تصویر میزبان:  $h(N \times N)$

تصویر نهان‌نگاری شده:  $h^*$

$$MSE = \frac{1}{N \times N} \sum_{i=0}^{M-1} \sum_{j=0}^{N-1} |h(i,j) - h^*(i,j)|^2 \quad (3)$$

برای اندازه‌گیری نامحسوس بودن، ظرفیت اطلاعات واترمارک استفاده شده، ثابت است (۱۲۰ bytes) و همان برای همه‌ی تصاویر تست شده است. جدول ۳ نتایج را نشان می‌دهد.

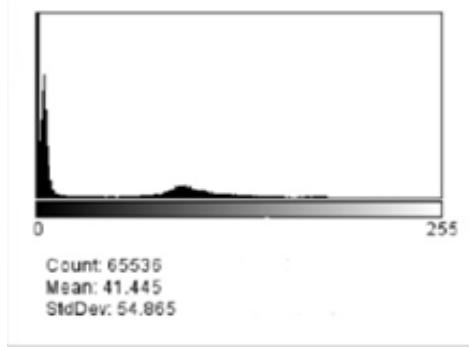
متوسط مقدار PSNR برای ۲۰ تصویر پزشکی ۴۸.۵۵۸ db می‌باشد، که بیشتر از ارزش قابل قبول نامحسوس بودن PSNR مقدار ۴۰ db است. بنابراین، نتایج نشان می‌دهد که این تصاویر واترمارک شده در بالاترین حد نامحسوس بودن می‌باشد.

مبنی بر نتایج آثار اخیر، به عنوان نمونه در جدول ۴، اگرچه مقدار PSNR به دست آمده از این مدل در بالاترین حد نامحسوس بودن است، آثار دیگری که بهتر انجام شده اند وجود دارد.

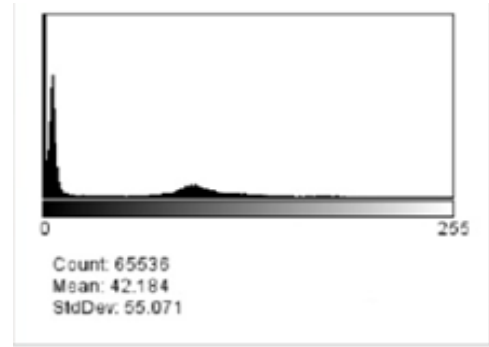
جدول ۴- مقایسه نامحسوس بودن نتایج PSNR

WORKS	PSNR
method (79)	54.1047
method (80)	42.14
method (82)	59.1168
method (34)	48.558
Proposed Model	48.558

شکل ۴- نمودار هیستوگرام برای هر دو تصاویر اصلی و واترمارک شده را نشان می دهد. انحراف استاندارد در شکل ۵-۴ (الف) برای تصویر اصلی ۵۵.۰۷۱ و برای تصویر واترمارک شده در شکل ۴ (ب)، ۵۴.۸۶۵ است.



شکل ۴- (ب) هیستوگرام تصویر واترمارک شده



شکل ۴- (الف) هیستوگرام تصویر اصلی

## نتیجه گیری

با نهان نگاری در تصاویر دیجیتال پزشکی می توان اهدافی همچون بهبود سطح امنیت، محرمانگی اطلاعات خصوصی بیمار و ذخیره ی یک پارچه ی فایل تصویری با فایل اطلاعات بیمار را به دست آورد. در این تحقیق با بردن تصویر به حوزه ی DCT و به دست آوردن ضرایب فرکانسی آن، برای اضافه کردن اطلاعات بیمار که پیش از این به داده ی باینری تبدیل و با الگوریتم ژنتیک رمزنگاری شده اند، از الگوریتم متقارن SS استفاده شده است به نحوی که این اطلاعات در بالاترین ضرایب فرکانس تصویر که در ناحیه RONI تصویر قرار دارند تعبیه می شود. سپس با گرفتن تبدیل معکوس DCT از ضرایب تغییر یافته، تصویر نهان نگاری شده با اطلاعات بیمار به دست آمد که این تصاویر با معیارهای سنجش الگوریتم های نهان نگاری، مورد ارزیابی قرار گرفت که مقدار ۰.۹۹۱ برای SR و ۴۸.۵۵۸ برای PSNR به دست آمد.

برای بازخوانی اطلاعات بیمار از تصویر نهان نگاری شده نیز تصویر اصلی و تصویر نهان نگاری شده، هر دو به بلوک ۸×۸ تقسیم شده و سپس DCT ارسالی استفاده شد. کلید  $k_1$  هم اولین بار برای تعیین هویت کاربر وارد شد. هر آرایه پیکسل تصویر برای هر دو تصاویر مقایسه شد و با توجه به تفاوت پیکسل های موجود در تصاویر مطابق فرآیند وارد کردن اطلاعات بیمار به تصویر، همان ضرایب و الگوریتم بازخوانی، داده ی باینری استخراج شد و با تبدیل داده ی باینری به کاراکتر، و با اعمال کلید  $k_2$  که برای رمزنگاری اطلاعات باینری شده استفاده شده بود، اطلاعات نهان نگاری شده بیمار در تصویر، به دست آمد. طبق بررسی های صورت گرفته نتایج به دست آمده برای نسبت شباهت و حداکثر نسبت سیگنال به نویز با روشی که بر روی آن تحقیقات صورت گرفت و این مدل جدید ارائه شده، یکسان به دست آمد. زیرا تغییری در تعبیه اطلاعات درون تصویر صورت نگرفت. بلکه با استفاده از الگوریتم ژنتیک یک مرحله رمزنگاری در اطلاعات باینری شده بیمار قبل از تعبیه در تصویر صورت پذیرفت که باعث بالاتر رفتن مقاومت روش در برابر حملات احتمالی می شود بدون این که تغییری در تصویر ایجاد کند. بنابراین حتی اگر کسی به الگوریتم و کلید  $k_1$  دسترسی پیدا کند با یک مرحله دیگر که رمزگشایی این اطلاعات است، مواجه می شود. به این ترتیب استفاده از الگوریتم ژنتیک که به عنوان یک روش جدید ارائه شده بود، مقاومت تصاویر پزشکی در برابر حملات را بالا برده است. که برای بررسی آن باید آزمایش هایی جداگانه بر روی تصاویر دستکاری شده برای این مدل و روش های قبلی صورت گرفته، انجام شود تا با مقایسه نتایج آن ها این مطلب اثبات شود. این مقادیر به دست آمده نشان می دهد که انحراف معیار استاندارد پس از تعبیه واترمارک در تصویر، کاهش یافته است. دلیل آن این است که پس از تعبیه واترمارک، مقادیر پیکسل های انتخاب شده افزایش یافته است.

## منابع مورد استفاده:

- (۱) فرهاد رحیمی، دکتر حسین ربانی، دکتر سعید کرمانی، ۱۳۹۰، "نهان نگاری دوگانه ی اطلاعات محرمانه بیمار در تصاویر پزشکی با استفاده از تبدیل کانتورلت"، مجله دانشکده پزشکی اصفهان- سال ۲۹/ شماره ۱۷۴/ ویژه نامه (مهندسی پزشکی)

- (۲) نادیا رود سرابی، علیرضا بهراد، ۲۴-۲۵ بهمن ۱۳۸۶-دانشگاه شاهد، "روش جدیدی برای نهان نگاری در تصاویر پزشکی با استفاده از شبکه عصبی"، چهاردهمین کنفرانس مهندسی پزشکی ایران
- (۳) مینا باقری، حبیب اله دانیالی، محمد صادق هل فروش، ۲۳ و ۲۴ شهریور ۱۳۹۰ - دانشگاه فردوسی مشهد، "نهان نگاری تھی و نیمه شکننده تصاویر دیجیتال با استفاده از استخراج ویژگی در حوزه ویولت و SVM"، هشتمین کنفرانس بین المللی انجمن رمز ایران
- (۴) فاطمه ادیسی، لیلی احسان، احسان اله اکبر، سعید نادر اصفهانی، "بررسی اثر روش انتخاب بلوک و طول رشته گلد در نهان نگاری تصویر به روش طیف گسترده"،
- (۵) پیمان نفیسی فرد، ولی درهمی، علی محمد لطیف، زمستان ۹۰، "واترمارکینگ وفقی تصاویر دیجیتال مبتنی بر یادگیری ماشینی"،
- (۶) رضا شاه حسینی، سعید همایونی، محمدرضا سراجیان، "طبقه بندی تصاویر سنجش از راه دور فراطیفی به کمک ماشین های بردار پشتیبان"، گروه مهندسی نقشه برداری، دانشکده فنی، دانشگاه تهران
- (۷) رضایی ع، رنجبران س، "آموزش کاربردی الگوریتم ژنتیک در نرم افزار MATLAB"، انتشارات آذر، تهران، ۱۳۸۶.
- (۸) جمشیدی، نیما و ابویی مهریزی، علی و مولایی، رسول، آموزش کاربردی مباحث پیشرفته مهندسی برق با MATLAB تهران، نشر عابد، ۱۳۸۸.
- (9) Kumar, S., Raman, B., Thakur, M: Real Coded Genetic Algorithm Based Stereo image Watermarking. IJSDIA 1(1), 23-33,( 2009).
- (10) Jung, H., Jeon, M: Enhanced SVD Based Watermarking with Genetic Algorithm, vol. 56, pp. 586-593. Springer, Heidelberg, (2009).
- (11) Charles L. Karr and L. M. Freeman " Industrial Applications of genetic Algorithms " CRC Press (1999).
- (12) L. Der-Chyuan, L. Jiang-Lung and H. Ming- Chiang, "Adaptive digital watermarking using neural network technique", IEEE International Carnahan Conference on, Security Technology, pp. 325-332, (2003).
- (13) J. Cong and W. Shihui, "Applications of a Neural Network to Estimate Watermark Embedding Strength", Eighth International Workshop on, Image Analysis for Multimedia Interactive Services, pp. 68-68,( 2007).
- (14) N. Zhong, J.-M. Kuang and Z.-W. He, "A GA-based Optimal Image Watermarking Technique", Third International Conference on, Intelligent Information Hiding and Multimedia Signal Processing, vol. 1, pp. 291-294, (2007).
- (15) Peng, H., Wang, J., Wang, W.: Image watermarking method in multiwavelet domain based on support vector machines. Journal of Systems and Software (2010) (in press)
- (16) Wang, X.-Y., Xu, Z.-H., Yang, H.-Y.: A robust image watermarking algorithm using SVR detection. Expert Systems with Applications 36(5) (2009).
- (17) Andreas Westfeld , Andreas Pfitzman , " Attacks On Steganographic Systems " , Department of computer science , IH'99 , LNCS 1768 , pp. 61-76 , (2000).
- (18) Matteo Fortini , "Steganography and Watermarking : A Global View"
- (19) Ross J.Anderson , Fabien A.Petitcolas , " On the Limits of Steganography " ,
- (20) I.Djurovi, S.Stankovi and I.Pitas, "Digital watermarking in the fractional Fourier transformation domain", Journal of Network and Compute Applications, 24, P.P. 167-173, (2001).
- (21) S.-F. Lin, and C.-F. Chen, "A robust DCT-based watermarking for copyright protection," IEEE Transactions on Consumer Electronics, Vol. 46, No. 3, pp. 415-421, Aug(2000).
- (22) I.J.Cox,M.L.Miller,and J.A. Bloom, Digital Watermarking, Morgan Kaufmann,(1999).
- (23) Lisa M.Marvel , Charles G.Bonchelet , Chrls T.Retter, " Spread Spectrum Image Steganography " , IEEE Transaction on image processing , vol 8 , No 8 , (1999).
- (24) Zain, J.M., Clarke, M.: Security in Telemedicine: Issues in watermarking medical images. In: 3rd International Conference: Sciences of Electronic, Technologies of Information and Telecommunications, TUNISIA (2005).
- (25) Potdar, V.M., Han, S., Chang, E.: A Survey of Digital Image Watermarking Techniques. In: International Conference on Industrial Informatics INDIN (2005).
- (26) Zain, J.M., Clarke, M.: Reversible Watermarking Surviving JPEG Compression. In: EMBS 2005, pp. 3759-3762 (2006).

- (27) Planitz, B.M., Maeder, A.J.: A Study of Block-Based Medical Image Watermarking Using a Perceptual Similarity Metric. In: Proceedings in DICTA 2005, p. 70 (2005).
- (28) Raul, R.-C., Feregrino, -U.C., de Gershom, J.T.-B.: Data Hiding Scheme for Medical Images. In: Proceedings in: 17th International Conference on Electronics, Communications and Computers (CONIELECOMP 2007), IEEE Computer Society, USA (2007).
- (29) Giakoumaki, A., Pavlopoulos, S., Koutsouris, D.: Multiple Image Watermarking Applied to Health Information Management. IEEE Transactions on Information Technology in Biomedicine 10(4), 722–732 ,( 2006).
- (30) Huang, S., Zhang, W.: Digital Watermarking Based on Neural Network and Image Features. In: ICIC 2009, vol. 2, pp. 238–240 (2009).
- (31) Cao, X.B., Xu, Y.W., Chen, D., Qiao, H.: Associated evolution of a support vector machine-based classifier for pedestrian detection. Information Sciences 179(8), 1070– 1077 (2009).
- (32) Tsai, H.-H., Sun, D.-W.: Color image watermark extraction based on support vector machines. Information Sciences 177(2), 550–569 (2007).
- (33) Shao, Y., Chen, W., Liu, C.: Multiwavelet-based Digital Watermarking with Support Vector Machine Technique. In: CCDC 2008 ,( 2008).
- (34) Saliza Ramly<sup>1</sup>, Syed Ahmad Aljunid<sup>1</sup>, and Hanizan Shaker Hussain<sup>2</sup> E. Ariwa and E. El-Qawasmeh (Eds.): DEIS 2011, CCIS 194, pp. 372–386, 2011. Springer-Verlag Berlin Heidelberg (2011).
- (35) Tsai, H.-H., Sun, D.-W.: Color image watermark extraction based on support vector machines. Information Sciences 177(2), 550–569(2007).
- (36) Abdallah, H.A., Hadhoud, M.M., Shaalan, A.A.: A blind spread spectrum wavelet based image watermarking algorithm. In: ICCES 2009, pp. 251–256 (2009).